

“Entrelazamiento, ergodicidad, aleatoriedad”

Alejandro Hnilo

*Centro de Investigaciones en Láseres y Aplicaciones (CEILAP)
(CITEDEF-CONICET).*

*9a Jornada de Lógica, Computación e Información
Cuántica*

CITEDEF, 24 de Octubre de 2019.

Ergodicidad:

La integral en el tiempo (para un tiempo “largo”) de una variable dinámica es igual a su integral sobre el espacio de fases:

$$\langle \mathbf{x} \rangle_t = (1/T) \int dt. \mathbf{x}(t); \quad \langle \mathbf{x} \rangle_r = \int d\mathbf{r}. \mathbf{x}(\mathbf{r})$$
$$\langle \mathbf{x} \rangle_t = \langle \mathbf{x} \rangle_r$$

Entrelazamiento:

Propiedad de sistemas cuánticos (a menudo después de una interacción) en la que la descomposición en términos de las bases individuales deja de ser separable.

$$|A\rangle = \sum a_i |a_i\rangle, \quad |B\rangle = \sum b_i |b_i\rangle, \quad |\psi\rangle = \sum \varphi_i |b_i\rangle \otimes |a_i\rangle$$

$$|\psi\rangle \neq \{ \sum a'_i |a_i\rangle \} \otimes \{ \sum b'_i |b_i\rangle \}$$

A menudo $|A\rangle$ y $|B\rangle$ están **espacialmente** separados, lo que es el origen de paradojas: $|\varphi\rangle$ es un “átomo” de *tamaño* arbitrario.

Aleatoriedad es un término más difícil de definir.

(Martin-Löf, Borel normal, Kolmogorov, Turing incomputable...)

Desde el punto de vista práctico, hay dos definiciones principales :

- “Estadística”: el número de 1 y 0 de diferente longitud (p.ej. 110101 for $n=6$) en la secuencia coincide con el que se obtendría tirando una moneda ideal (\approx normal Borel). La batería de tests del NIST está en gran parte basada en esta definición.
- “Algorítmica” : Si no hay un programa (que corre una máquina de Turing clásica) capaz de reproducir la secuencia usando menos bits que la misma secuencia (“Complejidad”, Kolmogorov, Chaitin and Solomonoff).

La **aleatoriedad algorítmica** se considera la forma más fuerte de aleatoriedad. PERO, no puede *calcularse*. Sólo puede *estimarse* mediante algoritmos compresores (como el de Lempel & Ziv).

Todo el mundo está de acuerdo en que:

Predecible \Rightarrow no aleatorio, luego:

Aleatorio \Rightarrow no *predecible*.

(pero... ¿predecible por quién? ¿Contando con qué información?)

Nótese que todavía queda la posibilidad lógica de ser “no aleatorio”
y a la vez “no predecible” (¿caótico?)

Todo el mundo está de acuerdo en que:

Predecible \Rightarrow no aleatorio, luego:

Aleatorio \Rightarrow no *predecible*.

(pero... ¿predecible por quién? ¿Contando con qué información?)

Nótese que todavía queda la posibilidad lógica de ser “no aleatorio” y a la vez “no predecible” (*¿caótico?*)

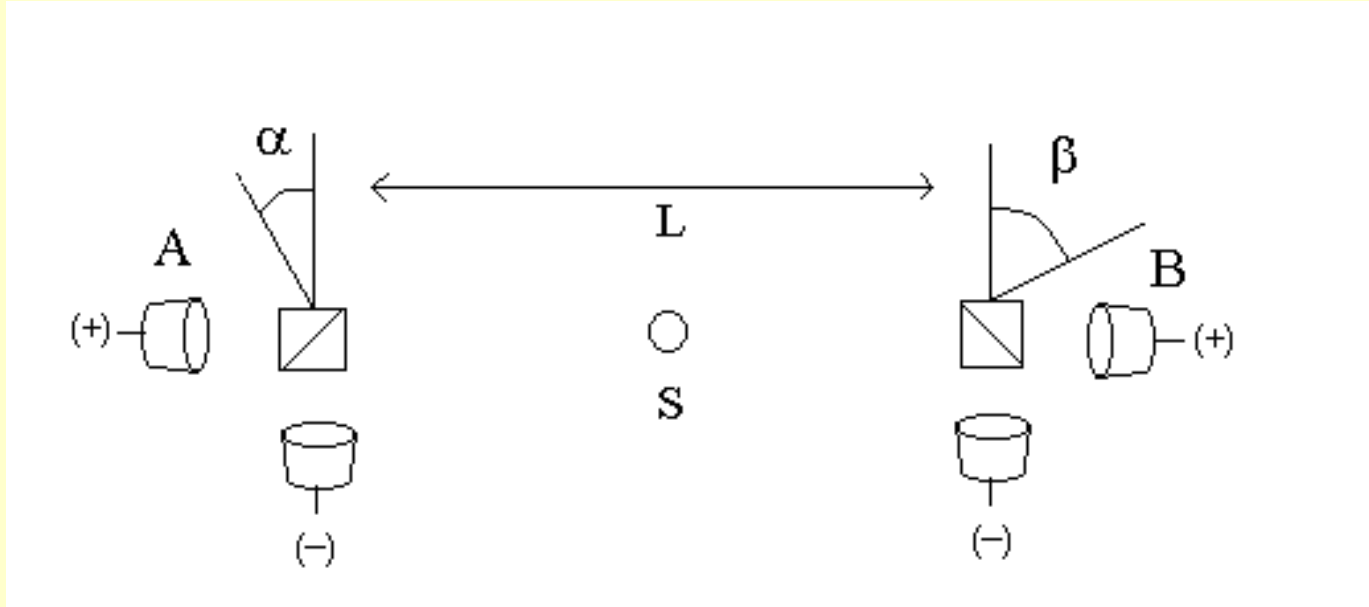
Una solución atractiva:

¡Los resultados de mediciones realizadas sobre (ciertos) sistemas cuánticos son aleatorios!

(pero...)

En esta charla voy a explorar la relación entre esas tres propiedades, y cómo su estudio es importante para generar números aleatorios, para la seguridad de QKD y para echar luz sobre aspectos fundamentales del mundo físico.

El bien conocido experimento que nos ocupa:
(*S es una fuente de estados entrelazados*)



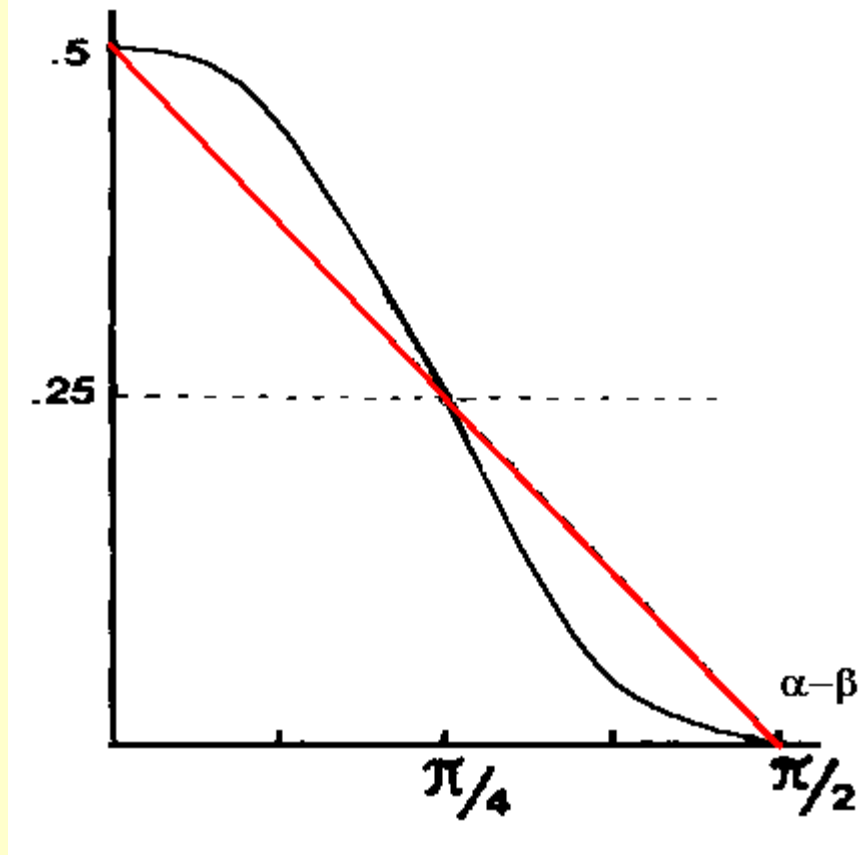
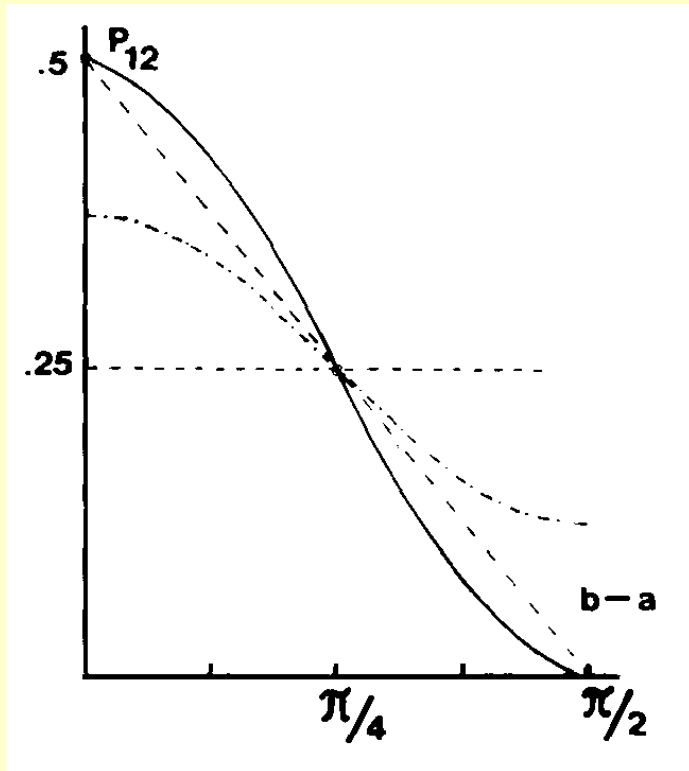
$$|\varphi^+\rangle = (1/\sqrt{2})\{ |x_A, x_B\rangle + |y_A, y_B\rangle \}$$

Un modelo simple que supone válidas las ideas intuitivas de “Localidad” y “Realismo” establece un límite a la magnitud de las correlaciones entre los resultados de observaciones realizadas en A y B.

Algunos estados entrelazados violan este límite.

$$P_{AB}(\alpha, \beta) = \frac{1}{2} \cdot \cos^2(\alpha - \beta)$$

Viola el límite impuesto por las desigualdades de Bell (que se deducen a partir de suponer válidos “Localidad” + “Realismo”).



El modelo semi-clásico de radiación no viola las desigualdades de Bell, pero la curva tiene la misma forma.

¿deficiencias instrumentales? (“loopholes”)

- *Detection (Fair-sampling)*
- *Locality (Predictability)*
- *Time-coincidence (falso Ergodic!)*

Un resumen de los principales experimentos *loophole-free*.

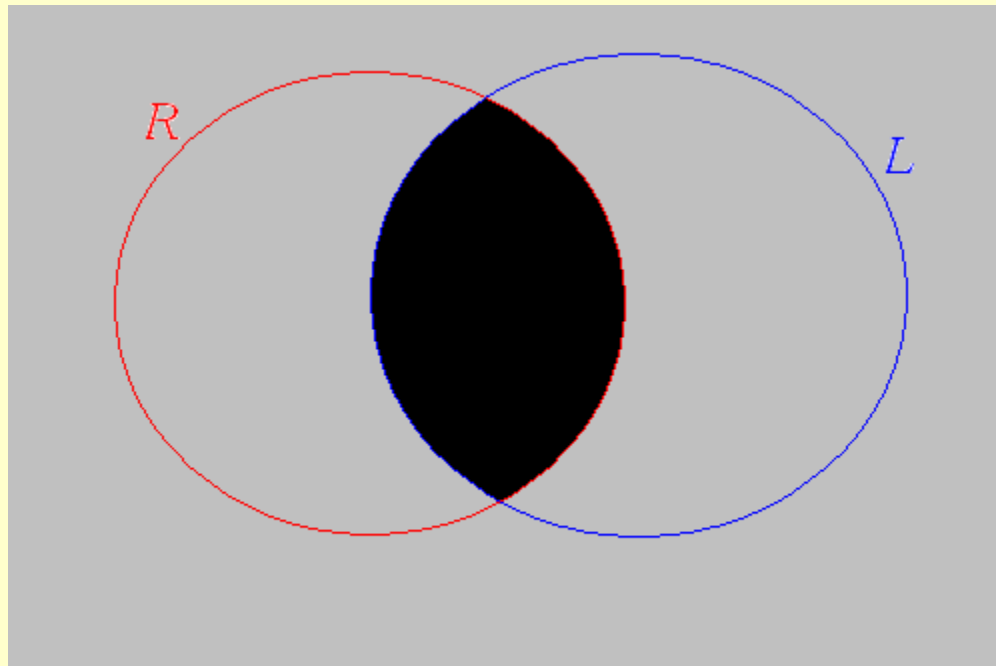
Phys.Rev.A **95**, 022102 (2017).

TABLE I. Summary of some parameters of interest; J_m is the experimentally obtained value of the left-hand side of the EI, J_{QM} is the QM ideal prediction, J_{corr} is the QM prediction but corrected by the separately measured efficiencies η_{meas} , η_{eq} is the efficiency value that makes $J_{corr} = J_m$, q_{QM} is the correlation probability between the hidden variable μ and the analyzers' settings the HV + DZ needs to reproduce J_{QM} , q_m is the same but to reproduce J_m , and q_{set} is the predictability of the RNG as estimated by the authors of the experiments.

| | Giustina <i>et al.</i> [3]; see Sec. IV B | Christensen <i>et al.</i> [4]; see Sec. IV C | Giustina <i>et al.</i> [5]; see Sec. IV D | Shalm <i>et al.</i> [6]; see Sec. IV E | Hensen <i>et al.</i> [7]; see Sec. IV F |
|------------------------|--|---|--|---|---|
| J_m | $5.24 \times 10^{-3} \pm 8 \times 10^{-5}$ | $5.4 \times 10^{-5} \pm 7 \times 10^{-6}$ | 7.27×10^{-6} | 1.41×10^{-5} | $S_m = 2.42 \pm 0.07$ |
| J_{QM} | 0.0701 | 0.0549 | 0.0671 | 0.0645 | $S_{QM} = 2\sqrt{2}$ |
| J_{corr} | 8.53×10^{-3} | 5.7×10^{-2} | 1.03×10^{-2} | 6.26×10^{-3} | $S_{corr} = 2.30$ |
| η_{meas} | 0.738 and 0.786 | 0.75 | 0.786 and 0.762 | 0.747 and 0.756 | 0.971 and 0.963 |
| η_{eq} | 0.745 | 0.710 | 0.719 | 0.715 | Not applicable |
| η_{thr} | 0.667 | 0.667 | 0.667 (?) | 0.725 | 0.828 |
| J_{corr}/J_m | 1.6 | 106 | 1422 | 444 | 0.95 |
| q_{QM} | 0.785 | 0.787 | 0.783 | 0.776 | 0.769 |
| q_m | $\frac{1}{2} + 2.1 \times 10^{-2}$ | $\frac{1}{2} + 8 \times 10^{-3}$ | $\frac{1}{2} + 7.6 \times 10^{-3}$ | $\frac{1}{2} + 1.6 \times 10^{-2}$ | 0.659 |
| q_{set} | 1 | 1 | $\frac{1}{2} + 1.2 \times 10^{-4}$ | $\frac{1}{2} + 10^{-4}$ | $\frac{1}{2} + 10^{-5}$ |
| p Value | Not computed | 1.16×10^{-10} [32] | 3.74×10^{-31} | 5.9×10^{-9} | 0.039 |
| Coincidence rate (min) | 232 s^{-1} | 1.7 s^{-1} | 9.6 s^{-1} | 0.059 s^{-1} | $\approx 2 \times 10^{-5} \text{ s}^{-1}$ |
| Coincidence rate (max) | 3970 s^{-1} | 31 s^{-1} | 162 s^{-1} | 3.60 s^{-1} | $\approx 1.3 \times 10^{-4} \text{ s}^{-1}$ |

Para cerrar el *detection loophole*: $\eta_{eq} > \eta_{thr}$

Espacio de las teorías para describir la Naturaleza



Los experimentos recientes (*loophole-free*) han demostrado más allá de las dudas basadas en deficiencias instrumentales, que o bien la “Localidad” o bien el “Realismo” (o ambos) no son válidos en la Naturaleza.

En realidad hay una tercera hipótesis involucrada, que fue mencionada desde el principio pero olvidada casi por completo.

Redescubierta periódicamente, ha recibido diversos nombres a lo largo del tiempo: *ergodicity*, *homogeneous dynamics*, *uniform complexity*, *counterfactual stability*, etc.

No es necesaria para *deducir* las desigualdades de Bell, pero sí para poder *usarlas* en un experimento.

Veamos rápidamente por qué es necesaria, así como los significados precisos de “Localidad” y “Realismo”.

A limitation on Bell's Inequality

by

V. BUONOMANO

Instituto de Matematica Universidade Estadual de Campinas,
Campinas, Sao Paulo, Brasil

ABSTRACT. — It is shown that Bell's Inequality does not characterize all local hidden variable explanations of the polarization correlation experiments. If one considers theories in which a single polarization measurement is not independent of previous particle-polarizer interactions then it is possible to manufacture local hidden variable theories which agree with quantum mechanics for any of the experiments performed to date.

A relevant property here is ergodicity, and we can say that Bell's Inequality characterizes all ergodic local hidden variable theories (i. e. all local theories that give the same time and ensemble average) but not all non-ergodic local hidden variable theories. It is further shown that the most physically reasonable class of non-ergodic local hidden variable theories must also satisfy Bell's Inequality.

It might be concluded from this article that if one insists on believing in both local hidden variable theories and the polarization correlation experiments supporting quantum mechanics then one must also believe in the existence of a field, medium or ether that permeates space and has relatively stable states (memory).

I. INTRODUCTION

A. In 1964 J. S. Bell [1], building on some work of Einstein, Podolsky and Rosen [2] and Bohm and Aharonov [3], proposed to show that any local hidden variable theory must necessarily be inconsistent with the quantum mechanical predictions for certain types of experiments that measure the polarization correlations of two separated particles which are originally together in some state. Several experiments [4-8] have since been

Deducción cortita de la desigualdad de Clauser y Horne:

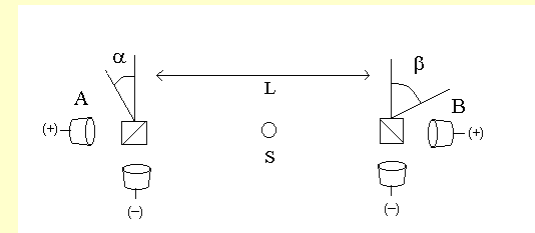
Supongo que la probabilidad de observar (p.ej.) una detección en A es de la forma:

$$P^+_A(\alpha) = \int d\lambda. \rho(\lambda). P^+_A(\alpha, \lambda)$$

(y lo mismo B, β , etc.). Supongo que $\rho(\lambda), P^+_A(\alpha, \lambda) \in [0, 1]$, que $\int d\lambda. \rho(\lambda) = 1$ y que las integrales son “bien comportadas” (= **Riemann o Lebesgue**) = **Realismo**.

La probabilidad de una coincidencia es entonces:

$$P^{++}_{AB}(\alpha, \beta) = \int d\lambda. \rho(\lambda). P^{++}_{AB}(\alpha, \beta, \lambda)$$



Donde supongo **no contextualidad (Localidad 1)**, es decir, es $\rho(\lambda)$, **NO** $\rho(\lambda, \alpha, \beta)$.

Uso que si: $x, y \geq 0; X \geq x'; Y \geq y'$ entonces: $-1 \leq xy + x'y + x'y' - xy' - Yx' - Xy \leq 0$

Llamo:

$$\begin{aligned} X = Y = 1; & & x = P^+_A(\alpha, \lambda); & & x' = P^+_A(\alpha', \lambda) \\ & & y = P^+_B(\beta, \lambda); & & y' = P^+_B(\beta', \lambda) \end{aligned}$$

(dejo de escribir los superíndices “+”)

$$\begin{aligned} -1 \leq & P_A(\alpha, \lambda) \times P_B(\beta, \lambda) + P_A(\alpha', \lambda) \times P_B(\beta, \lambda) - P_A(\alpha', \lambda) \times P_B(\beta', \lambda) \\ & - P_A(\alpha, \lambda) \times P_B(\beta', \lambda) - P_A(\alpha', \lambda) - P_B(\beta, \lambda) \leq 0 \end{aligned}$$

Ahora supongo **Localidad 2** (independencia estadística):

$$P_{AB}(\alpha, \beta, \lambda) = P_A(\alpha, \lambda) \times P_B(\beta, \lambda)$$

Y tengo:

$$\begin{aligned} -1 \leq P_{AB}(\alpha, \beta, \lambda) + P_{AB}(\alpha', \beta, \lambda) + P_{AB}(\alpha', \beta', \lambda) \\ - P_{AB}(\alpha, \beta', \lambda) - P_A(\alpha', \lambda) - P_B(\beta, \lambda) \leq 0 \end{aligned}$$

Multiplico por $\rho(\lambda)$, **integral** y obtengo (desigualdad C-H):

$$-1 \leq P_{AB}(\alpha, \beta) - P_{AB}(\alpha, \beta') + P_{AB}(\alpha', \beta) + P_{AB}(\alpha', \beta') - P_A(\alpha') - P_B(\beta) \leq 0$$

Que quiero ver si se cumple o no en los experimentos.

Recordar que (p.ej.):

$$P_{AB}(\alpha, \beta) = \int d\lambda. \rho(\lambda). P_{AB}(\alpha, \beta, \lambda) \text{ (ensemble average)}$$

Pero que yo siempre mido *en el tiempo*:

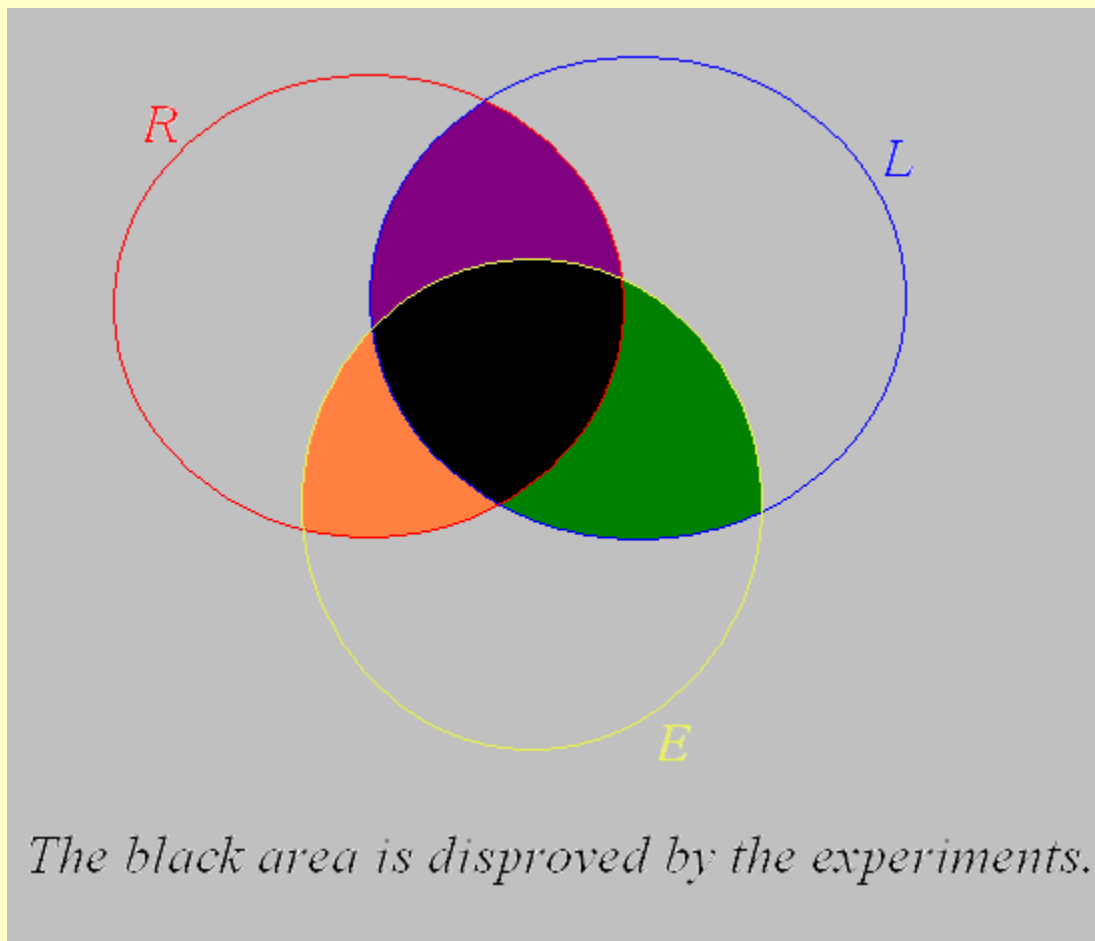
$$P_{AB}(\alpha, \beta) = (1/T) \int dt. \rho(t). P_{AB}(\alpha, \beta, t) \text{ (time average)}$$

La igualdad entre las dos integrales es la **hipótesis ergódica**

Vale la pena aclarar que *ergodicidad* se refiere aquí a las propiedades del “mundo posible” implícito en la hipótesis de *counterfactual definiteness*, (que a su vez ya está incluida en “Realismo”).

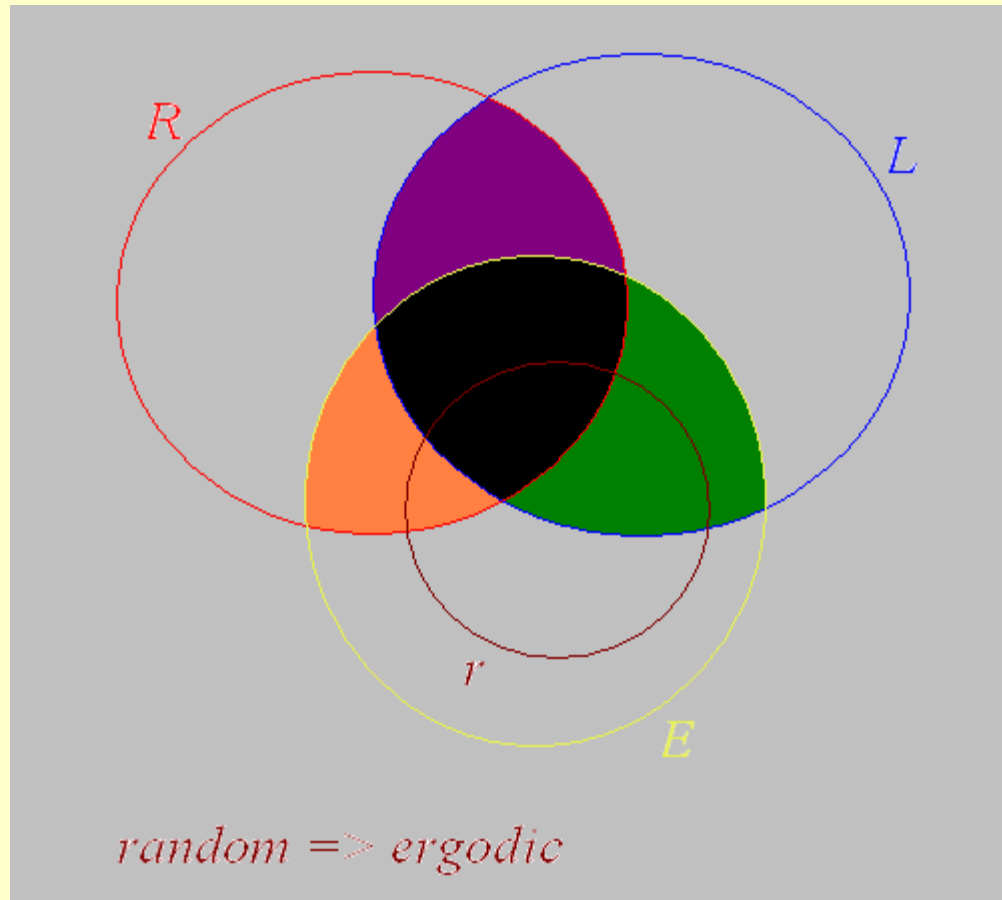
Es decir: aunque al suponer “Realismo” ya supuse que el mundo no-observado existe y está bien definido, todavía me falta definir *cómo* es ese mundo. Si supongo que en ese mundo no-observado vale *ergodicidad*, entonces recupero las desigualdades de Bell usuales. Si supongo otra cosa, las desigualdades toman *otras* formas, que a veces ni siquiera son violadas por QM.

Entropy 2017,19,80

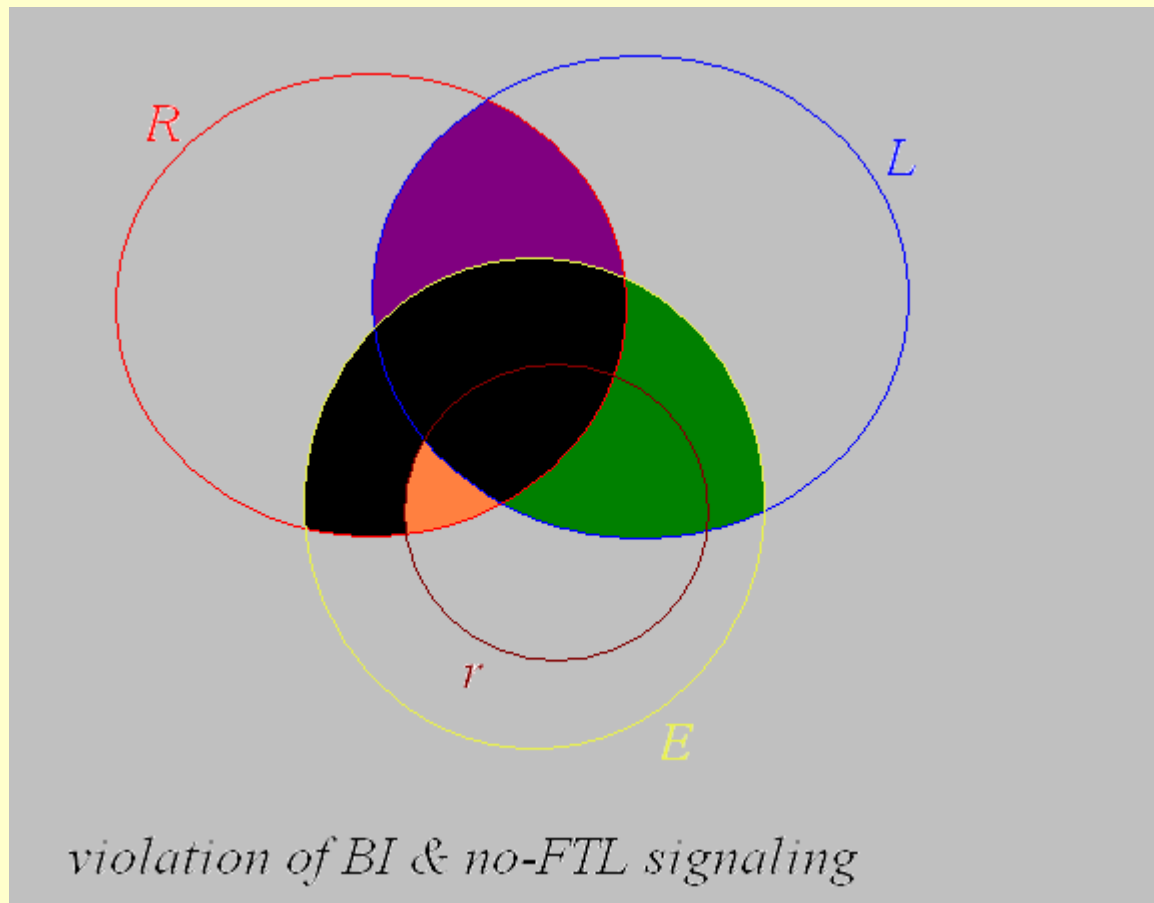


En lo que sigue voy a analizar los tres casos que surgen de suponer que *una* (no más de una) de las hipótesis involucradas es falsa, y las consecuencias para la aleatoriedad de series de observaciones.

random (bounded) \Rightarrow ergodic



Que un proceso aleatorio es ergódico es intuitivo, pero puede formalizarse (la manera precisa depende de cómo se defina “random”).



Un modelo “no Local” y “no aleatorio” permitiría enviar mensajes a velocidad instantánea (Popescu & Rohrlich) y debe ser descartado, ampliando el conjunto de modelos refutados.

Quedan así: modelos

“No realistas” (Copenhagen: random o no)

“No Locales” (\Rightarrow Quantum certified randomness!)

“No ergódicos” (\Rightarrow no random!)

Pero...¿no era que los resultados de mediciones cuánticas (hechas sobre una base de la que el estado observado no es autoestado) son aleatorios?

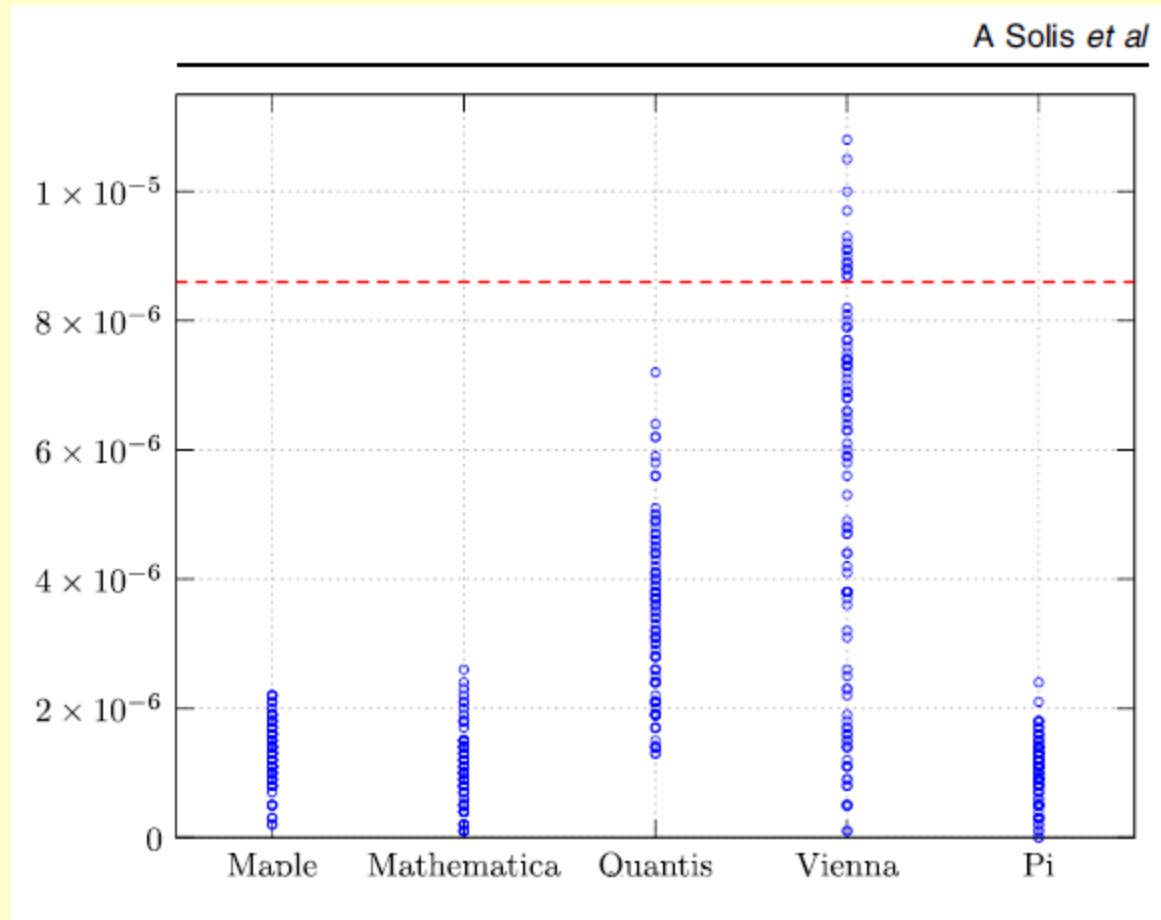
Las razones por las que esto se cree cierto:

- Axioma de Von Neumann: *los resultados de mediciones en QM violan el principio de “razón suficiente” de Leibniz (formas fuerte y débil).*
- Resultado de Calude & Svozil (2008): *suponiendo la validez de la no-Localidad cuántica (y no-signaling), las secuencias de mediciones cuánticas deben ser “Turing non-computable”.*

El dato importante es que, sometidas a tests estándar, las series de números generadas por mediciones cuánticas distan mucho de ser aleatorias en la práctica.

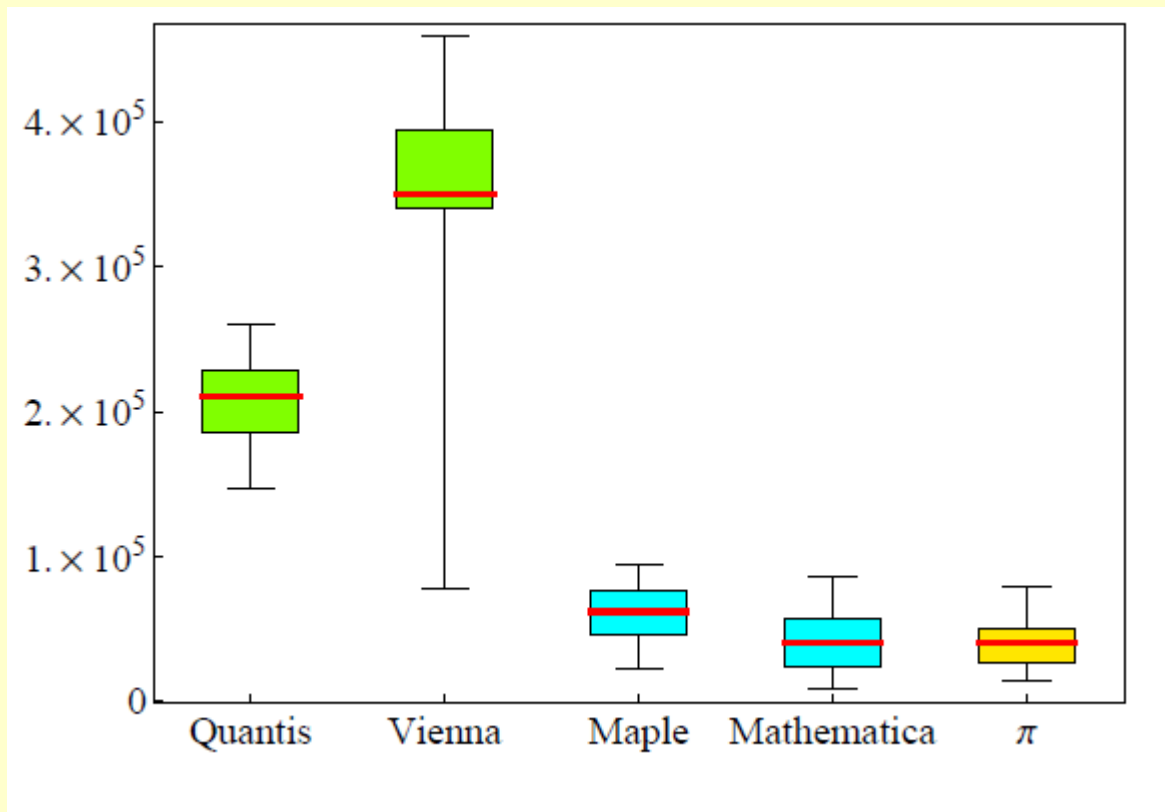
Se suele suponer que es por *deficiencias instrumentales*.
(*loopholes* otra vez, pero usados al revés)

Algunos ejemplos:



La línea roja representa la máxima desviación admisible de la condición de normalidad de Borel. Los círculos azules representan el valor absoluto de la desviación. **Algunas secuencias producidas por RNG cuánticos no son siquiera “normales de Borel”.**

From: Solis *et al.*, Phys. Scr. 90 (2015) 074034.



$$\left| \frac{N_j^m(x)}{|x|_m} - 2^{-m} \right| \leq \sqrt{\frac{\log_2 |x|}{|x|}}$$

Calude *et al.* 2010, otro test de normalidad de Borel. **Los RNG cuánticos tienen un desempeño peor que las series generadas por subrutinas incluidas en programas de uso corriente.**

El caso de QKD

En QKD, se genera dos series de números aleatorios idénticas en lugares distantes usando un estado entrelazado de fotones. Las series después se usan para codificar el mensaje.

- La “forma fuerte” del axioma de von Neumann garantiza que las series son aleatorias \Rightarrow el mensaje no puede ser espiado (cifrado de Vernam).
- **La Pureza** del entrelazamiento pone un límite inferior a la entropía de las secuencias generadas (Pironio *et al.*, 2010) (pero sólo si la secuencia es *estacionaria* y vale no-localidad cuántica).
- Algunos experimentos “loophole-free” afirman haber generado secuencias “**quantum certified**” (Bierhorst *et al.*, 2018; Shen *et al.*, 2018). Estos experimentos usan estados de Eberhardt, que producen secuencias fuertemente desbalanceadas.

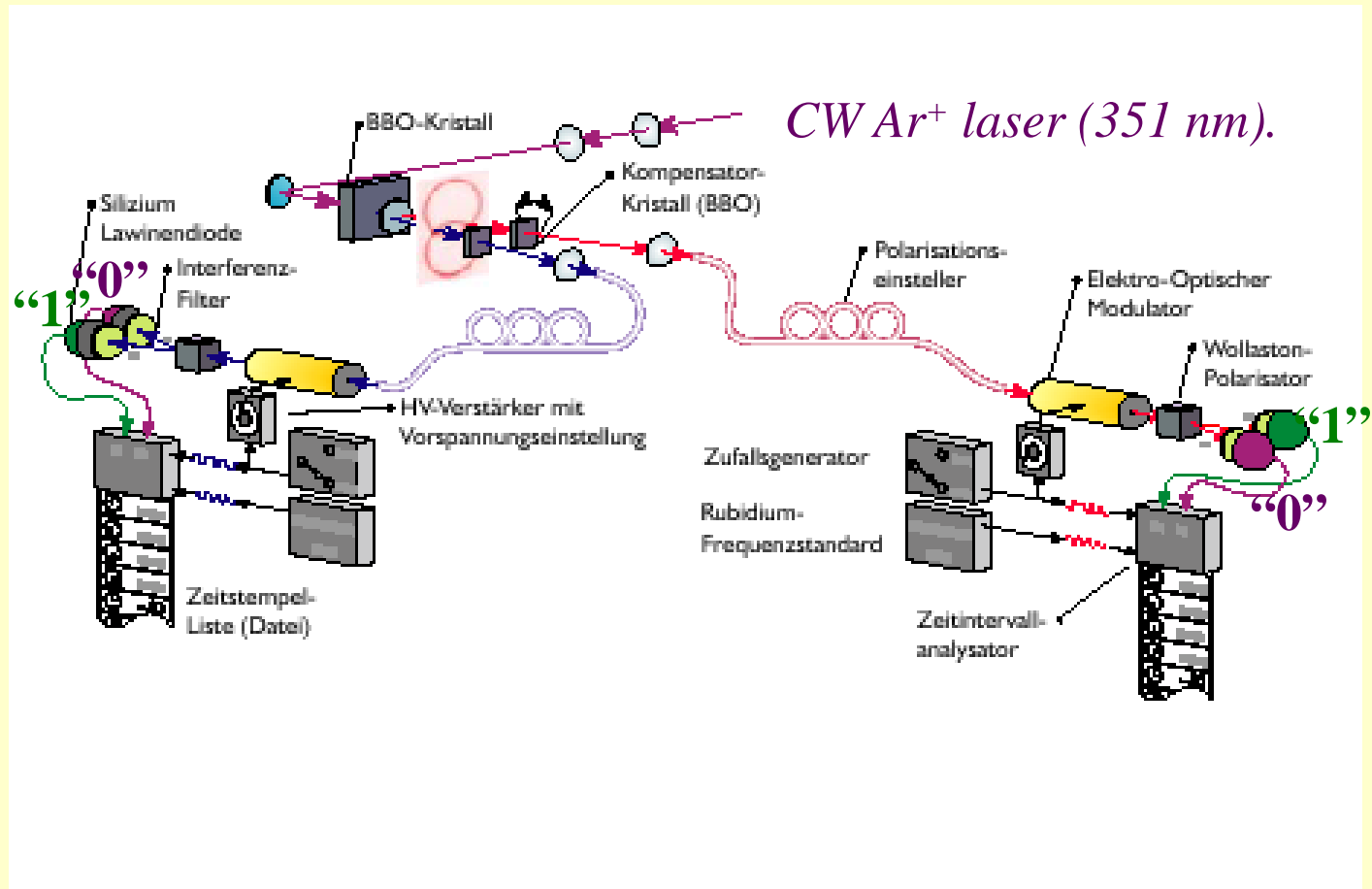
¿Y qué pasa con la aleatoriedad algorítmica?

(la forma más fuerte de aleatoriedad)

No hay datos disponibles de setups QKD, pero podemos usar experimentos parecidos.

El experimento de Innsbruck (Weihs *et al.* 1998).

No fue *loophole-free*, pero usó estados de Bell (= generó secuencias estadísticamente balanceadas) y hay muchos datos disponibles.



Basados en los resultados de Solis *et al.* estudiamos primero las series generadas por los *tiempos* entre coincidencias (su aleatoriedad es mejor que la de *outcomes*).

Un resultado viejo (*Found.Phys.* **37** p.80-102, 2007):

¡una de las series generadas en este experimento es *predecible*!

La corrida *longtime* (6 min de tiempo real, 95.797 puntos) **tiene un objeto de baja dimensión en el espacio de fase** (obtenido usando el teorema de reconstrucción de Takens, TISEAN software). **Es posible predecir los bits “futuros” en la secuencia** (hasta un promedio de ≈ 20 bits).

Esto implica una vulnerabilidad QKD de un tipo diferente (la correlación puede ser perfecta, pero...)

Se supone que la causa fue una variación (suave) de la frecuencia de los relojes de Alice y Bob.

El resultado es concluyente, pero el teorema de Takens puede aplicarse de manera confiable a sólo algunos casos (o corridas).

Una estimación de la complejidad de Kolmogorov $K(N)$ provee una evaluación de “aleatoriedad” que es menos restrictiva (= más útil).

Extraemos series de tiempos entre coincidencias para casi todas las series disponibles en el experimento de Innsbruck's (con $S > 2$) y calculamos $K(N)$ con la realización del algoritmo de Lempel&Ziv desarrollada por Mihalovic *et al.*

Esto da una *estimación* de la complejidad de Kolmogorov normalizada:

$$K(N) \equiv c(N) \times \log_2(N)/N$$

Donde $c(N)$ es el **complexity counter**, definido como el mínimo número de palabras distintas en la secuencia (la base para esta normalización es que si $N \rightarrow \infty$, $c(N) \rightarrow N/\log_2(N)$ en una serie aleatoria ideal).

| Filename (description) | Complexity | NIST (RND=?) | S_{CHSH} | N |
|--|------------|--------------|----------------|---------|
| Longtime (remote, switched) | 0.55 | NO | 2.51 | 95801 |
| Longtime, subset {0,3} | 0.65 | NO | Not applicable | 2122 |
| Longdist0 (remote, switched) | 0.97 | yes | 2.53 | 15501 |
| Longdist0, singles | 0.96 | NO | Not applicable | 471017 |
| Longdist1 | 11.94 | yes | 2.63 | 16168 |
| Longdist2 | 11.21 | yes | 1.98 | 26675 |
| Longdist3 | 11.25 | yes | 2.67 | 24335 |
| Longdist4 | 11.24 | yes | 2.66 | 25402 |
| Longdist10 | 10.88 | NO | 2.20 | 26529 |
| Longdist11 | 10.82 | yes | 2.41 | 25573 |
| Longdist12 | 0.93 | NO | 2.37 | 27158 |
| Longdist12, singles | 0.97 | yes | Not applicable | 934979 |
| Longdist13 | 10.84 | yes | 2.36 | 27160 |
| Longdist20 | 10.37 | yes | 2.06 | 41549 |
| Longdist22 | 0.59 | NO | 2.16 | 39915 |
| Longdist22, singles | 0.96 | yes | Not applicable | 1237058 |
| Longdist23 | 10.37 | yes | 2.63 | 41058 |
| Longdist30 | 12.24 | yes | 2.10 | 14145 |
| Longdist31 | 0.97 | yes | 2.62 | 13022 |
| Longdist32 | 12.24 | yes | 2.70 | 10992 |
| Longdist33 | 12.18 | yes | 2.06 | 13004 |
| Longdist34 | 12.26 | yes | 1.87 | 14289 |
| → Longdist35 | 0.34 | NO * | 2.73 | 14562 |
| Longdist35, singles | 0.96 | yes | Not applicable | 388455 |
| Longdist36 | 11.0 | yes | 2.72 | 14573 |
| Longdist36, singles | 0.96 | yes | Not applicable | 388573 |
| Longdist37 | 12.16 | yes | 2.05 | 14661 |
| Loccorr1 (local, switched) | 0.96 | yes | 2.74 | 72533 |
| Loccorr3 | 0.96 | yes | 2.74 | 73269 |
| Loccorr3, singles | 0.96 | yes | Not applicable | 853985 |
| Bluesin1 (local, static), $\alpha=0^\circ$, $\beta=7.5^\circ$ | 0.98 | yes | Not applicable | 6797 |
| Bluesin2, $\alpha=0^\circ$, $\beta=15^\circ$ | 0.97 | yes | Not applicable | 6815 |
| Bluesin3, $\alpha=0^\circ$, $\beta=22.5^\circ$ | 0.97 | yes | Not applicable | 6822 |
| Bluesin4, $\alpha=0^\circ$, $\beta=30^\circ$ | 0.96 | yes | Not applicable | 6824 |
| Bluesin5, $\alpha=0^\circ$, $\beta=37.5^\circ$ | 0.97 | yes | Not applicable | 6784 |
| SL1722 (local, static) $\alpha=0^\circ$, $\beta=22.5^\circ$ | 0.96 | yes | Not applicable | 56913 |
| Conlt3 (local, static, uncorrelated) | 7.29 | yes | Not applicable | 4950 |

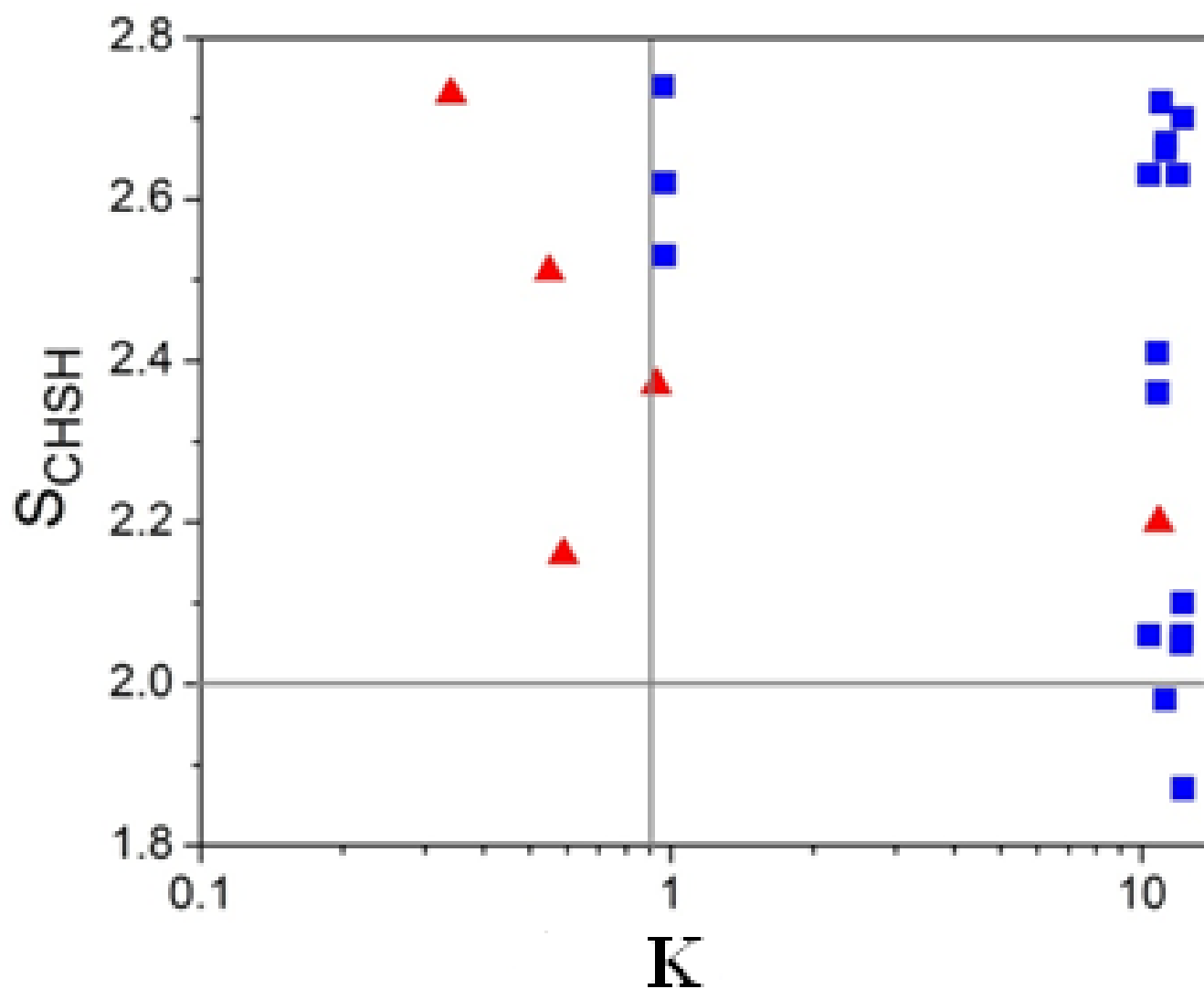


Gráfico resumen de los principales resultados en la tabla anterior. **Triángulos** (**cuadrados**) indican las corridas que **no pasan** (**pasan**) los tests del NIST. La línea horizontal indica el límite de Bell, la vertical es $K=0.9$ (límite arbitrario de complejidad algorítmica aceptable). *Parecería que a menor S , mayor K .* *Phys.Rev.A* **98**, 042131 (2018).

Teniendo en cuenta sólo las corridas “remote switched” (las que serían útiles para QKD), hay **5 entre 21** que *no* pueden ser consideradas random ($\approx 25\%$)

Si nos restringimos a las 16 en las que la desigualdad de Bell es violada ampliamente, el porcentaje sube a **> 30%**.
(Incluyendo un caso en que la serie es **predecible!**)

Y esto es para el experimento de Innsbruck, que fue realizado en condiciones mucho mejor controladas que lo previsible para un dispositivo QKD operando en el mundo real.

La conclusión práctica importante es que no es seguro considerar que la aleatoriedad de series generadas en QKD está garantizada, aún si la desigualdad de Bell de control se viola por un amplio margen.

Se objetó que el estudio involucraba series de **tiempos**, y no de **resultados** (outcomes)

Usando outcomes...(da lo mismo, o peor)

| Series of outcomes. | Complexity | NIST (RND=?) | S _{CHSH} | N |
|--------------------------------|------------|--------------|-----------------------------|-------|
| Longdist0, Alice, setting = 0 | 1.017 | NO | 2.53 | 9676 |
| Longdist0, Alice, setting = 1 | 1.030 | NO | 2.53 | 10302 |
| Longdist0, Bob, setting = 0 | 1.023 | NO | 2.53 | 9893 |
| Longdist0, Bob, setting=1 | 1.023 | NO | 2.53 | 10085 |
| Longdist1, Alice, setting = 0 | 1.025 | NO | 2.63 | 10848 |
| Longdist1, Alice, setting = 1 | 1.027 | yes (no) | 2.63 | 9859 |
| Longdist1, Bob, setting = 0 | 1.018 | NO | 2.63 | 10043 |
| Longdist1, Bob, setting = 1 | 1.016 | yes | 2.63 | 10664 |
| Longdist35, Alice, setting = 0 | 1.032 | yes | 2.73 | 8638 |
| Longdist35, Alice, setting = 1 | 1.016 | NO | 2.73 | 6365 |
| Longdist35, Bob, setting =0 | 1.033 | yes (no) | 2.73 | 7741 |
| Longdist35, Bob, setting = 1 | 1.023 | yes (no) | 2.73 | 7262 |
| Longdist35, all Alice outcomes | 1.021 | NO | 2.73 | 15003 |
| Longdist35, all Bob outcomes | 1.026 | yes | 2.73 | 15003 |
| Bierhorst <i>et al.</i> | 1.044 | yes | J = 1.41 × 10 ⁻⁵ | 1024 |

$K \approx 1$, $K \gg 1$, $K < 1$, loophole-free.

Sólo **7 de las 15** series pueden ser consideradas estadísticamente aleatorias. La proporción de no-random ($\approx 1/2$) es mayor que para las series de tiempos ($\approx 1/4$), resultado consistente con Solis *et al.* Si se aplica toda la batería de tests del NIST, sólo **4** series sobreviven (**una de ellas es la loophole-free**).

arxiv.org/1812.05926

Si para tener series verdaderamente aleatorias es imprescindible alcanzar la condición de loophole-free, entonces la idea de “quantum certification” (y también de QKD!) está muy lejos de ser practicable.

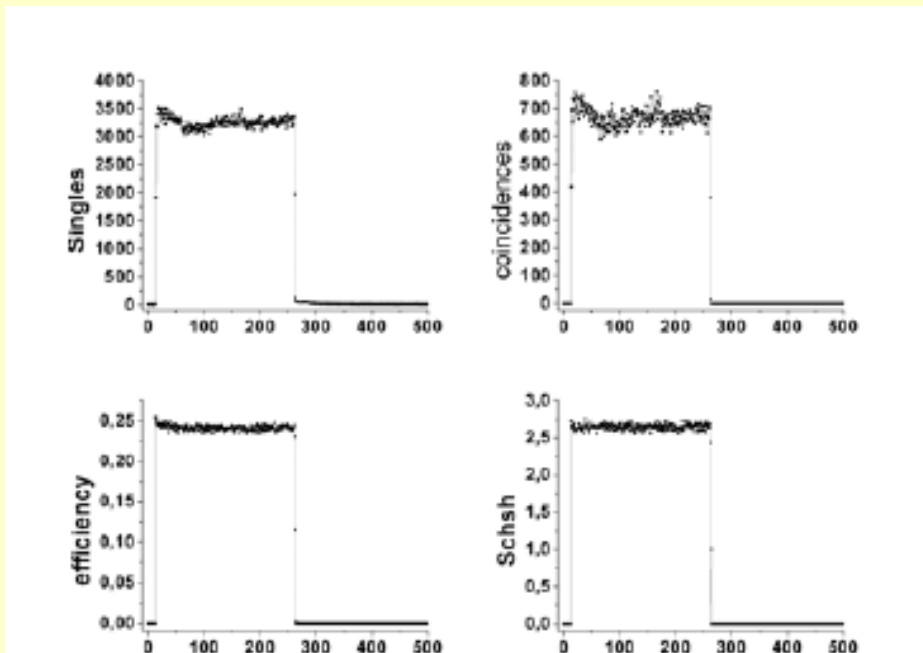
Una manera de explorar la factibilidad de estas ideas es tratar de “medir” la aleatoriedad de series generadas con estados de diferente entrelazamiento, para ver cuál es la tendencia.

Generamos series con $S=1.41$ (el valor del modelo semiclásico de radiación), $S=2.04$ (en el límite de Bell) y $S=2.67$ (fácilmente reproducible en un dispositivo de uso práctico), y les pasamos todos los tests de aleatoriedad que encontramos:

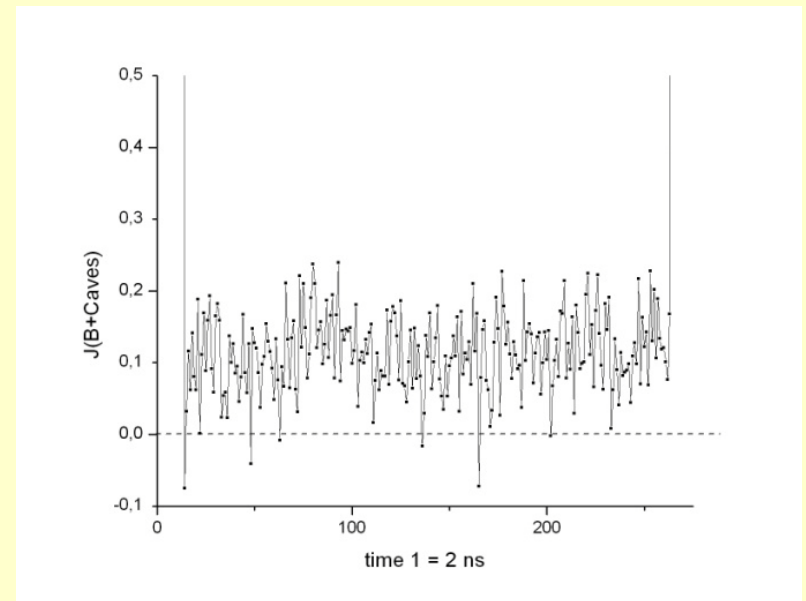
- Toda la batería del NIST.
- Complejidad de Kolmogorov.
- Test de estacionariedad: KPSS y ADF.
- Exponente de Hurst.

El dispositivo es pulsado (**pulsos cuadrados de 500 ns a 50 KHz**), lo que se parece a la situación de “tirar una moneda”. Sólo uno de cada 17 pulsos produce un fotón (single) detectado; prácticamente no hay “dos monedas por tiro”.

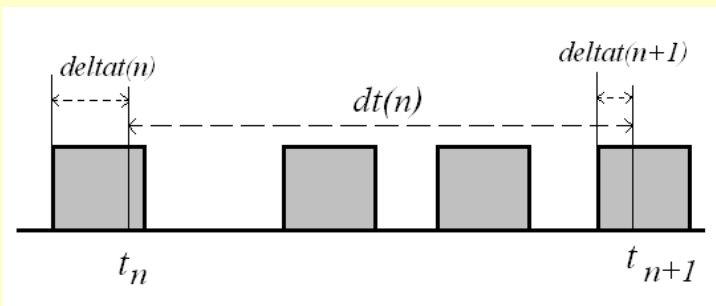
Esto permite generar varios tipos de series y también calcular (estroboscópicamente) la variación del entrelazamiento en el tiempo:



CHSH y η



Desigualdad informática
(Braunstein & Caves)



| File type | Kc | Km | H |
|-------------------------|-------------------|-----------------------|-------------------|
| #1, $\theta=22.5^\circ$ | 0.965 ± 0.005 | 1.031 ± 0.025 | 0.501 ± 0.011 |
| #2, $\theta=22.5^\circ$ | 1.019 ± 0.004 | 1.023 ± 0.015 | 0.498 ± 0.009 |
| #1, $\theta=8.6^\circ$ | 0.965 ± 0.008 | 1.024 ± 0.013 | 0.504 ± 0.021 |
| #2, $\theta=8.6^\circ$ | 1.020 ± 0.006 | 1.021 ± 0.007 | 0.499 ± 0.010 |
| #3, $\theta=8.6^\circ$ | 1.019 ± 0.010 | <i>not applicable</i> | 0.503 ± 0.011 |

Table 2: Average values and dispersion of Kolmogorov complexities and Hurst exponent, for files recorded with marginally entangled state, $S=2.06$.

| File type | Kc | Km | H |
|-------------------------|-------------------|-----------------------|-------------------|
| #1, $\theta=22.5^\circ$ | 0.947 ± 0.004 | 1.020 ± 0.004 | 0.497 ± 0.016 |
| #2, $\theta=22.5^\circ$ | 1.022 ± 0.010 | 1.019 ± 0.004 | 0.493 ± 0.013 |
| #1, $\theta=8.6^\circ$ | 0.966 ± 0.007 | 1.022 ± 0.008 | 0.493 ± 0.020 |
| #2, $\theta=8.6^\circ$ | 1.020 ± 0.007 | 1.021 ± 0.007 | 0.491 ± 0.016 |
| #3, $\theta=8.6^\circ$ | 1.015 ± 0.001 | <i>not applicable</i> | 0.505 ± 0.009 |

Table 1: Average values (over all files of the same type) and dispersion of Kolmogorov complexities and Hurst exponent, for files recorded with entangled state, $S=2.67$.

| File type | Kc | Km | H |
|-------------------------|-------------------|-----------------------|-------------------|
| #1, $\theta=22.5^\circ$ | 0.962 ± 0.002 | 1.016 ± 0.003 | 0.496 ± 0.013 |
| #2, $\theta=22.5^\circ$ | 1.016 ± 0.003 | 1.017 ± 0.004 | 0.497 ± 0.012 |
| #1, $\theta=8.6^\circ$ | 0.964 ± 0.009 | 1.018 ± 0.010 | 0.496 ± 0.022 |
| #2, $\theta=8.6^\circ$ | 1.017 ± 0.007 | 1.016 ± 0.008 | 0.496 ± 0.012 |
| #3, $\theta=8.6^\circ$ | 0.972 ± 0.086 | <i>not applicable</i> | 0.501 ± 0.008 |

Table 3: Average values and dispersion of Kolmogorov complexities and Hurst exponent, for files recorded with no entangled state, $S=1.42$.

La aleatoriedad se “mide” por la proporción de series de coincidencias rechazadas (o no-aleatorias) usando varios indicadores bien establecidos. Dejando de lado las 24 series tipo #3 (que tienen algún problema sistemático, porque todas son rechazadas por el NIST), 8 de 64 series para $S=2.67$ son no-aleatorias, 14 de 64 para $S=2.12$, y 0 de 64 para $S=1.42$.

Las series generadas con el menor entrelazamiento son las “más aleatorias”. Esto es una buena noticia por un lado, porque son más fáciles de generar.

Por otro lado, un buen entrelazamiento es esencial para QKD.

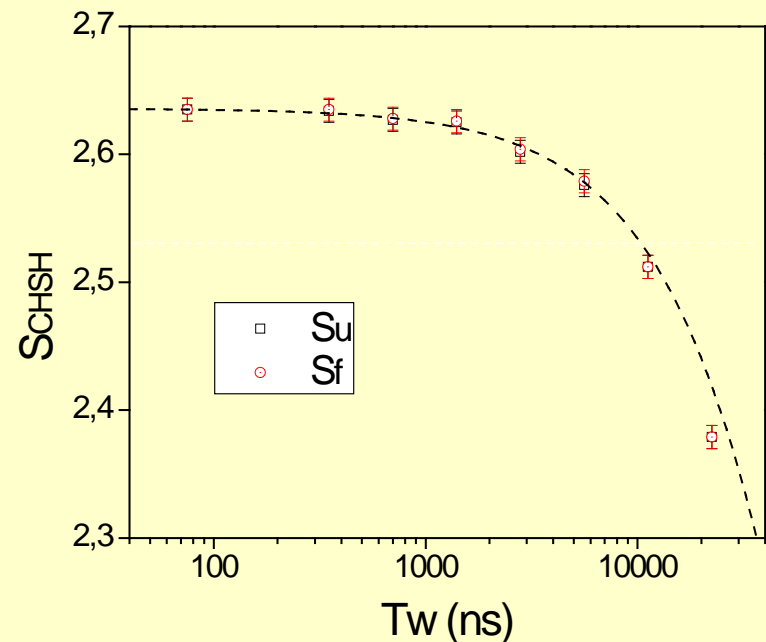
Pero en toda esta discusión ha quedado afuera un elemento esencial: *Localidad*, o la distancia L entre las estaciones.

Tal vez sea ésa la causa del desempeño pobre de algunos RNG no-loophole free.

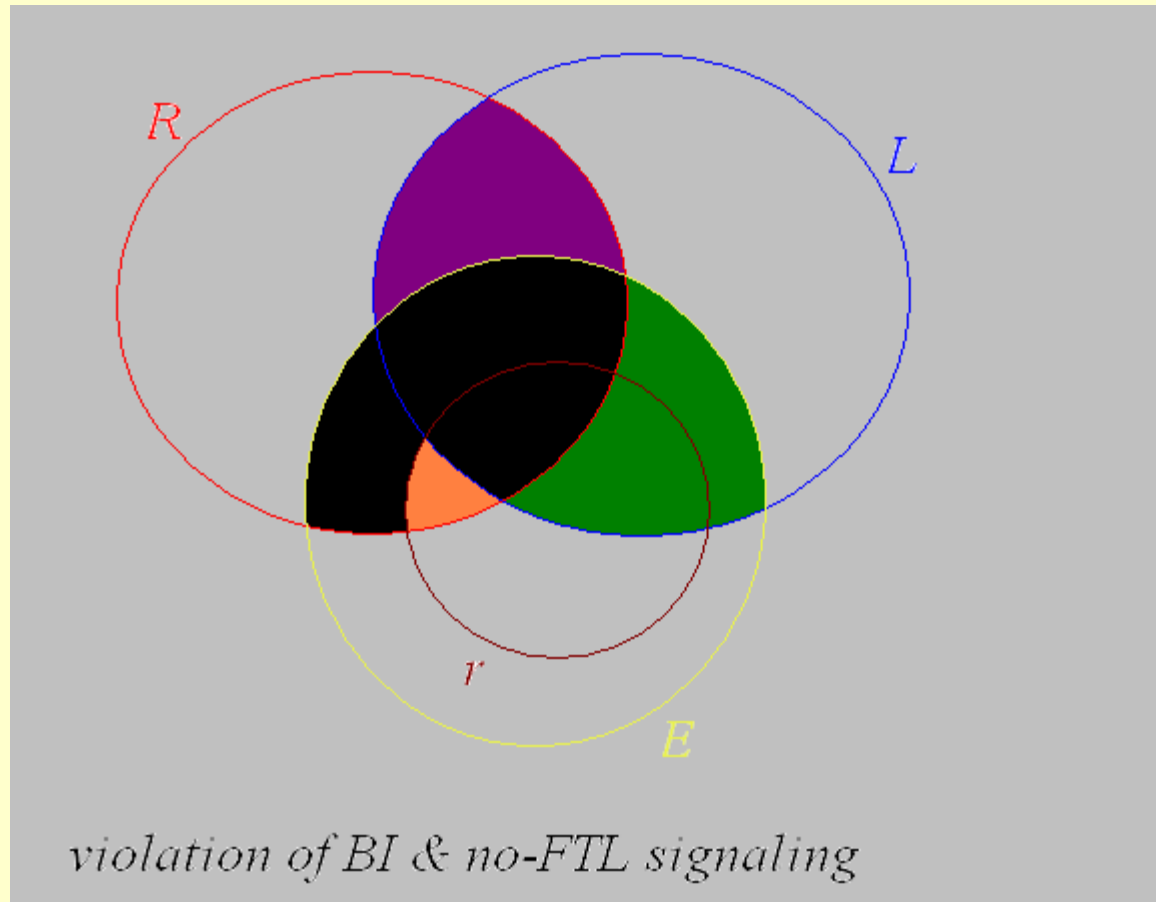
Sabemos de experimentos anteriores que *los fotones detectados fuera del pulso no están correlacionados*.

Así que podemos suponer que los comienzos de los pulsos (tiempos menores que L/c) están en una zona donde la condición de Localidad se cumple.

Phys.Rev.A **86**, 052121 (2012).



Recordemos el gráfico de las propiedades de los modelos posibles después de los experimentos loophole-free:

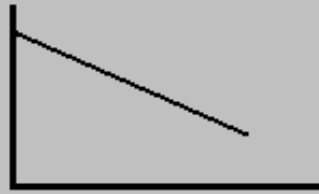
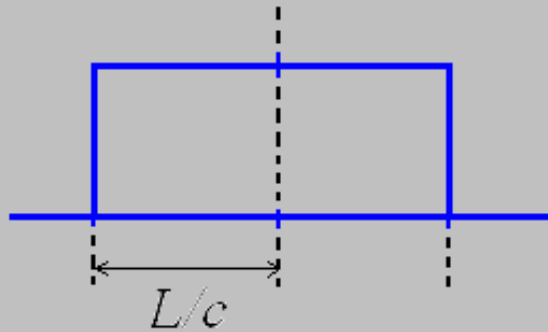


“No realistas” (Copenhagen: random o no)

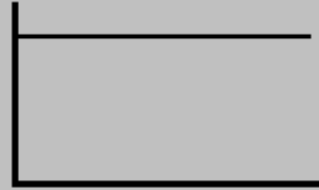
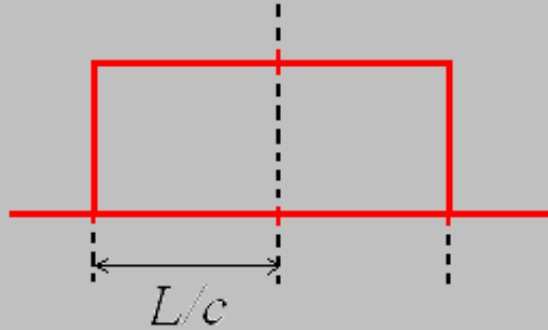
“No Locales” (\Rightarrow Quantum certified randomness!)

“No ergódicos” (\Rightarrow no random!)

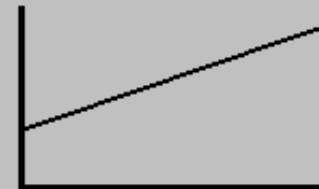
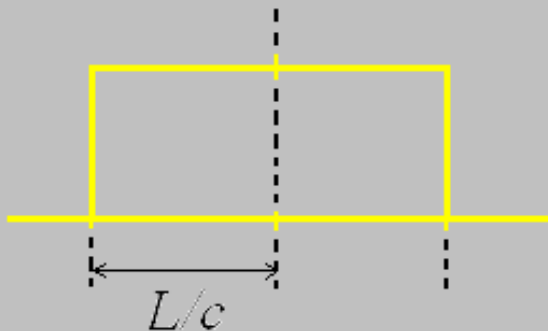
¿Qué mediría un “randómetro” en cada caso?



No se cumple Localidad
(Q. certified)



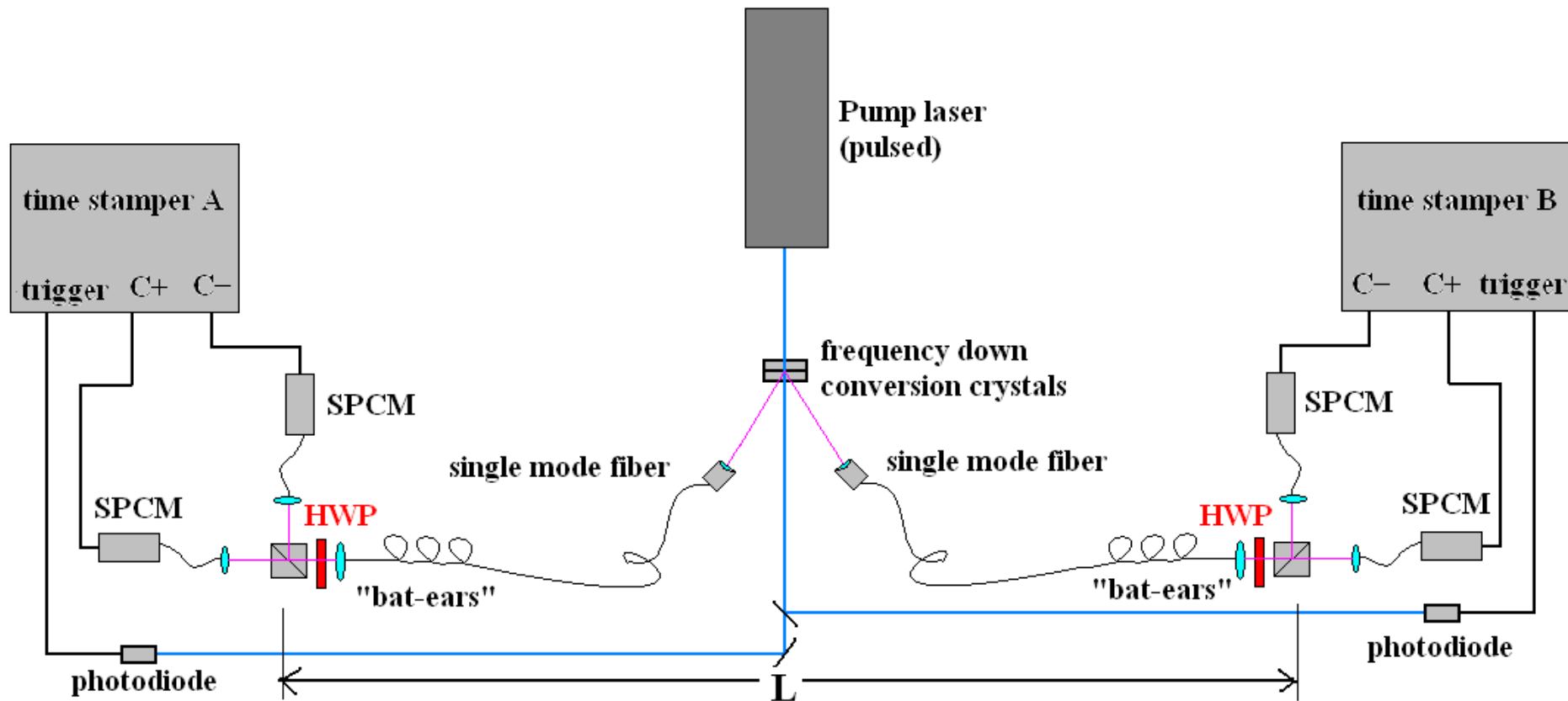
No se cumple Realismo
(Copenhagen)



No se cumple Ergodicidad
(no ergódico \Rightarrow no random)

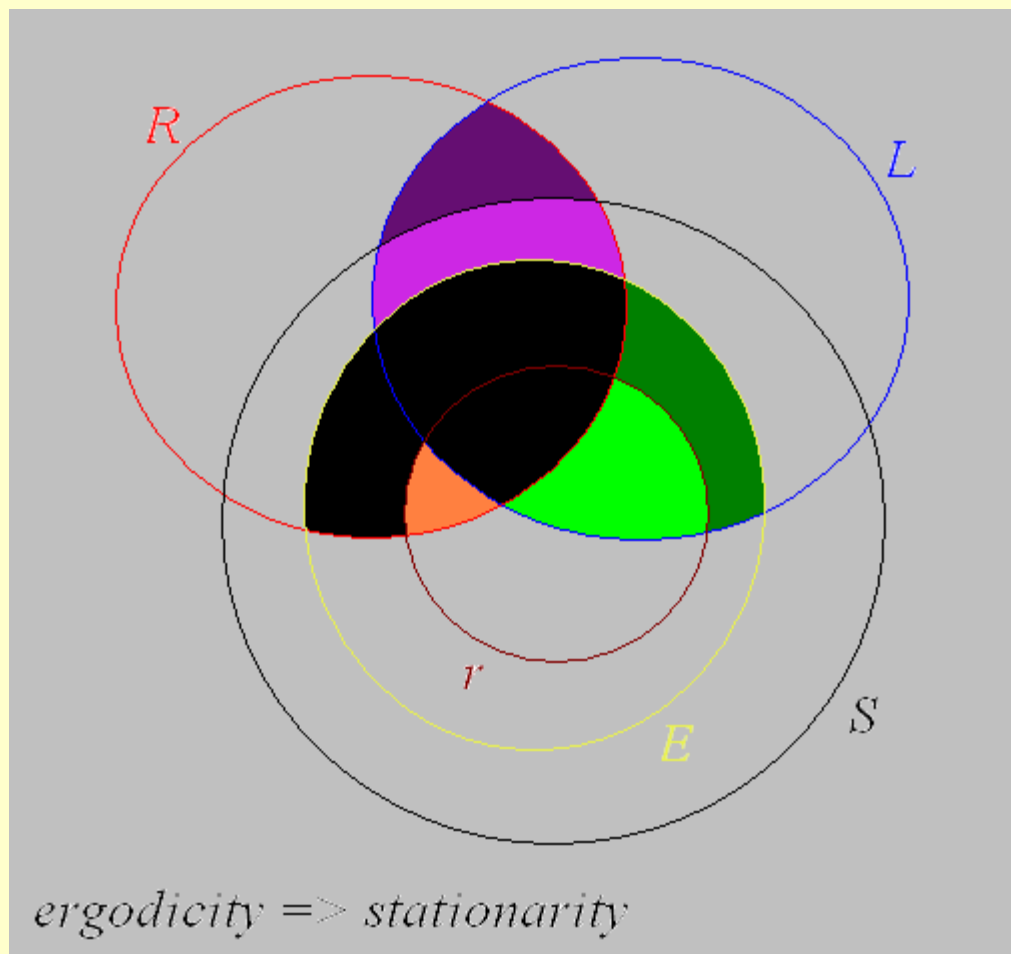
Lástima que los randómetros no existen...

(pero podemos contar la *proporción* de series no-random)



En un experimento como éste, variando L (y por lo tanto la parte del pulso que queda en la zona “Local”) es tal vez posible encontrar indicios de cuál de las tres hipótesis (Localidad, Realismo o Ergodicidad) es la que no se cumple en la violación de las desigualdades de Bell.

Finalmente, hay otra propiedad (estacionariedad) que puede ayudar:



Augmented Dickey-Fuller (**ADF**) y Kwiatkowski–Phillips–Schmidt–Shin (**KPSS**) son tests estándar de estacionariedad.

Volvemos a los datos del experimento de Innsbruck.

(que no me sorprendería que fuera no-estacionario)

En todas las series, ADF indica que se puede descartar *unit-root*.

KPSS = 0 indica que no se puede descartar *estacionariedad*.

Así, 6 de las 12 series “time” son en principio no estacionarias, aunque todas las series de singles son estacionarias.

En las series de “outcomes”, 5 de 18 son no estacionarias.

| Filename (description) | KPSS | K | Hurst | S_{CHSH} / C (est.) | N |
|--|------|-------|-------|-----------------------|--------|
| Longtime (time) | 1 | 0.55 | 0.73 | 2.51 / 0.83 | 95801 |
| Longdist0 (time) | 1 | 0.97 | 0.68 | 2.53 / 0.84 | 19978 |
| Longdist0 (time, singles Alice) | 0 | 0.96 | 0.49 | Not applicable | 471017 |
| Longdist12 (time) | 1 | 0.93 | 0.70 | 2.37 / 0.76 | 27158 |
| Longdist12 (time, singles Alice) | 0 | 0.97 | 0.50 | Not applicable | 934979 |
| Longdist22 (time) | 1 | 0.59 | 0.87 | 2.16 / 0.65 | 39915 |
| Longdist23 (time) | 0 | 10.37 | 0.49 | 2.63 / 0.89 | 41058 |
| Longdist31 (time) | 0 | 0.97 | 0.51 | 2.62 / 0.89 | 13022 |
| Longdist32 (time) | 0 | 12.24 | 0.48 | 2.70 / 0.93 | 10992 |
| Longdist35 (time) | 0 | 0.34 | 0.50 | 2.73 / 0.95 | 15003 |
| Longdist35 (time, singles Alice) | 0 | 0.96 | 0.51 | Not applicable | 388455 |
| Longdist36 (time) | 1 | 11.0 | 0.62 | 2.72 / 0.94 | 14573 |
| Bluesin1 (time, static), $\alpha=0^\circ$, $\beta=7.5^\circ$ | 0 | 0.98 | 0.46 | Not applicable | 6797 |
| Bellstat0 (time, static), $\alpha=0^\circ$, $\beta=0^\circ$ | 1 | falta | 0.56 | Not applicable | 10528 |
| Bellstat0 (outcomes, static), $\alpha=0^\circ$, $\beta=0^\circ$ | 0 | falta | 0.51 | Not applicable | 10528 |
| Longdist0 (outcomes Alice, total) | 1 | falta | 0.58 | 2.53 / 0.84 | 19978 |
| Longdist0 (outcomes Alice, V=0) | 0 | 1.02 | 0.54 | 2.53 / 0.84 | 9676 |
| Longdist0 (outcomes Alice, V=1) | 1 | 1.03 | 0.61 | 2.53 / 0.84 | 10302 |
| Longdist0 (outcomes Bob, total) | 0 | falta | 0.52 | 2.53 / 0.84 | 19978 |
| Longdist0 (outcomes Bob, V=0) | 0 | 1.02 | 0.50 | 2.53 / 0.84 | 9893 |
| Longdist0 (outcomes Bob, V=1) | 0 | 1.02 | 0.51 | 2.53 / 0.84 | 10085 |
| Longdist1 (outcomes Alice, total) | 1 | falta | 0.52 | 2.63 / 0.89 | 20707 |
| Longdist1 (outcomes Alice, V=0) | 0 | 1.03 | 0.50 | 2.63 / 0.89 | 9859 |
| Longdist1 (outcomes Alice, V=1) | 0 | 1.03 | 0.51 | 2.63 / 0.89 | 10848 |
| Longdist1 (outcomes Bob, total) | 0 | falta | 0.51 | 2.63 / 0.89 | 20707 |
| Longdist1 (outcomes Bob, V=0) | 0 | 1.02 | 0.52 | 2.63 / 0.89 | 10043 |
| Longdist1 (outcomes Bob, V=1) | 0 | 1.02 | 0.49 | 2.63 / 0.89 | 10664 |
| Longdist35 (outcomes Alice, total) | 0 | 1.02 | 0.49 | 2.73 / 0.95 | 15003 |
| Longdist35 (outcomes Alice, V=0) | 0 | 1.03 | 0.48 | 2.73 / 0.95 | 8638 |
| Longdist35 (outcomes Alice, V=1) | 0 | 1.02 | 0.52 | 2.73 / 0.95 | 6365 |
| Longdist35 (outcomes Bob, total) | 1 | 1.03 | 0.53 | 2.73 / 0.95 | 15003 |
| Longdist35 (outcomes Bob, V=0) | 0 | 1.03 | 0.51 | 2.73 / 0.95 | 7741 |
| Longdist35 (outcomes Bob, V=1) | 0 | 1.02 | 0.52 | 2.73 / 0.95 | 7262 |

CONCLUSIONES

CONCLUSIONES

- Muchas de las series de resultados (ya sea “tiempos” o “outcomes”) generadas por dispositivos cuánticos *no pasan* los tests estándar de aleatoriedad, (entre $\frac{1}{4}$ y $\frac{1}{2}$ son rechazadas, aún para mediciones hechas sobre estados con buen entrelazamientos).

CONCLUSIONES

- Muchas de las series de resultados (ya sea “tiempos” o “outcomes”) generadas por dispositivos cuánticos *no pasan* los tests estándar de aleatoriedad, (entre $\frac{1}{4}$ y $\frac{1}{2}$ son rechazadas, aún para mediciones hechas sobre estados con buen entrelazamientos).
- Esto abre un interrogante sobre la viabilidad de QNRG y QKD en la práctica. Hace falta más mediciones.

CONCLUSIONES

- Muchas de las series de resultados (ya sea “tiempos” o “outcomes”) generadas por dispositivos cuánticos *no pasan* los tests estándar de aleatoriedad, (entre $\frac{1}{4}$ y $\frac{1}{2}$ son rechazadas, aún para mediciones hechas sobre estados con buen entrelazamientos).
- Esto abre un interrogante sobre la viabilidad de QNRG y QKD en la práctica. Hace falta más mediciones.
- Las series de mejor aleatoriedad fueron generadas por fuentes no-entrelazadas.

CONCLUSIONES

- Muchas de las series de resultados (ya sea “tiempos” o “outcomes”) generadas por dispositivos cuánticos *no pasan* los tests estándar de aleatoriedad, (entre $1/4$ y $1/2$ son rechazadas, aún para mediciones hechas sobre estados con buen entrelazamientos).
- Esto abre un interrogante sobre la viabilidad de QNRG y QKD en la práctica. Hace falta más mediciones.
- Las series de mejor aleatoriedad fueron generadas por fuentes no-entrelazadas.
- Determinar el grado de aleatoriedad de las series *generadas para distintos L y en diferentes momentos de un pulso* puede echar luz sobre interrogantes fundamentales (¿cuál de las tres hipótesis involucradas en las desigualdades de Bell es falsa?) y cuál es el régimen en que QKD podría usarse de manera segura (p.ej.: sólo si $T_{\text{pulso}} < L/c$).

FIN

Muchas gracias!